

УДК 547.831.7:547.327

## АЛКИЛИРОВАНИЕ 2-МЕТИЛХИНОЛИН-4-ОНОВ АМИДАМИ ХЛОРУКСУСНОЙ КИСЛОТЫ

В.А.Зубков, И.С.Грищенко, И.Н.Подольский, Е.А.Таран

Национальный фармацевтический университет  
61002, г. Харьков, ул. Пушкинская, 53. E-mail: medchem@ukrifa.kharkov.ua

**Ключевые слова:** хинолин-4-оны; таутомерия; алкилирование; амиды хлоруксусной кислоты

**Изучена реакция алкилирования 2-метилхинолин-4-онов амидами хлоруксусной кислоты. С помощью спектроскопии ЯМР и рентгеноструктурного анализа установлено направление алкилирования. Показано, что в системах ДМСО/ $K_2CO_3$  и ДМФА/NaOH образуются 4-O-алкилпроизводные хинолинов.**

### **ALKYLATION OF 2-METHYLQUINOLIN-4-ONES WITH THE CHLOROACETIC ACID AMIDES**

**V.A.Zubkov, I.S.Gritsenko, I.N.Podolsky, Ye.A.Taran**

**Alkylation reaction of 2-methylquinolin-4-ones with amides of the chloroacetic acid has been studied. The direction of alkylation has been determined by NMR spectroscopy and X-ray analysis. It has been shown that alkylation of 2-methylquinolin-4-ones in such systems as DMSO/ $K_2CO_3$  and DMF/NaOH results in formation of 4-O-alkyl derivatives of quinolines.**

### **АЛКІЛУВАННЯ 2-МЕТИЛХІНОЛІН-4-ОНІВ АМІДАМИ ХЛОРОЦТОВОЇ КИСЛОТИ**

**В.О.Зубков, І.С.Грищенко, І.М.Подольський, К.А.Таран**

**Вивчена реакція алкілювання 2-метилхінолін-4-онів амідами хлороцтової кислоти. За допомогою спектроскопії ЯМР і рентгеноструктурного аналізу визначено напрямок алкілювання. Показано, що в системах ДМСО/ $K_2CO_3$  і ДМФА/NaOH утворюються 4-O-алкілпохідні хінолінів.**

2-Алкилхинолин-4-он является структурным фрагментом многочисленных природных биологически активных веществ [1]. В последние десятилетия было выделено большое количество алкалоидов производных 2-алкилхинолин-4-онов из растений и продуктов жизнедеятельности микробов [2-3]. В структурах практически всех этих соединений кольцевой атом азота является либо незамещенным, либо содержит алкильные группы. Для оценки перспективности синтеза аналогов природных алкалоидов, содержащих N-алкилхинолин-4-оновый фрагмент, нами была изучена реакция алкилирования 2-метилхинолин-4-онов.

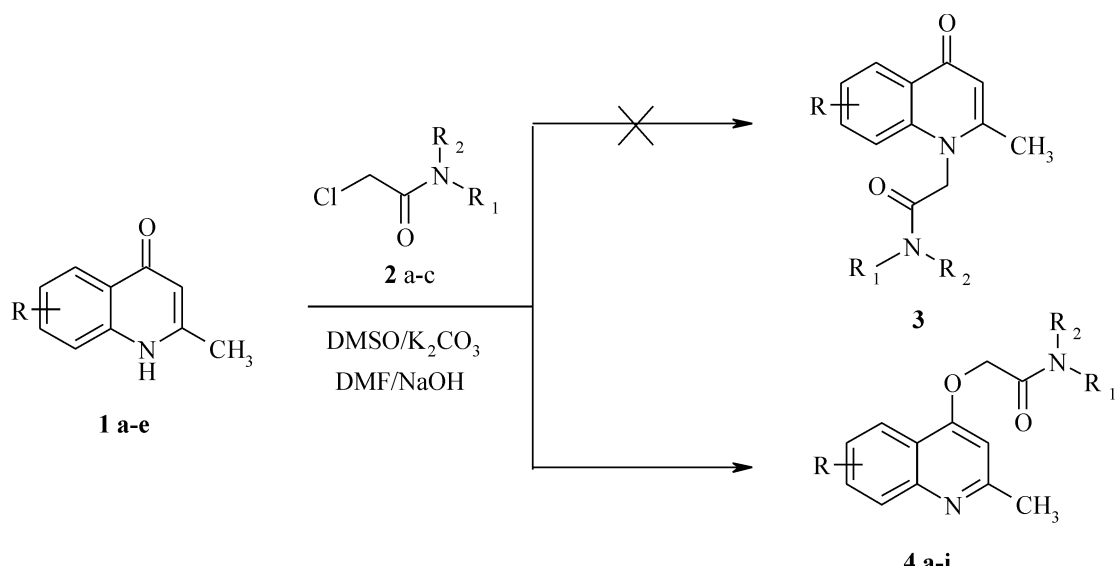
2-Метилхинолин-4-оны могут существовать в виде двух таутомерных форм, вследствие чего алкилирование этих соединений возможно с образованием как N-, так и O-алкилпроизводных или же смеси обоих изомеров. Анализ литературных данных свидетельствует о том, что, действительно, алкилирование 2-алкил(арил)хинолин-4-онов алкилгалогенидами в присутствии неорганических оснований проходит неоднозначно. Так, в одних работах авторы описывают образование только исключительно либо O-алкилпроизводных [4], либо N-алкилпроизводных [7], в других — смеси O- и N-изомеров 2-алкил(арил)хинолин-4-онов в различных соотношениях [5, 6]. Также отмечается, что в направлении алкилирования важную роль играет наличие, характер и положение замес-

тителей в ароматическом кольце хинолоновой системы [8].

Исходные 2-метилхинолин-4-оны **1a-e** были получены из соответствующих анилинов и ацетоуксусного эфира по известной методике [9]. Алкилирование их амидами хлоруксусной кислоты **2a-c** было проведено в системах ДМСО/ $K_2CO_3$  и ДМФА/NaOH при температуре 70–80 °C. В результате реакции с хорошими выходами были получены целевые соединения **4a-i** (табл. 1). Индивидуальность синтезированных соединений подтверждена данными ТСХ и ЯМР спектроскопии (схема 1).

Использование в синтезе разных оснований ( $K_2CO_3$  или NaOH) существенно не влияло на выход конечных продуктов.

При попытке определить направление алкилирования 2-метилхинолин-4-онов с помощью ЯМР-спектроскопии появились определенные затруднения, поскольку спектры ЯМР  $^1H$  и ЯМР  $^{13}C$  не позволяют сделать однозначный вывод, по какому из путей протекает реакция. Действительно, 2-(2-метил-4-оксохинолин-1(4Н)-ил)ацетамиды **3** и 2-[2-(2-метилхинолин-4-ил)окси]ацетамиды **4** являются структурными изомерами, а данные спектроскопии можно равновероятно отнести к обеим из этих структур. Спектр ЯМР  $^1H$  этилового эфира 4-(2-амино-2-оксоэтокси)-2-метилхинолин-6-карбоновой кислоты **4e** несколько отличается от спектров соединений **4a-d**, и анализ этого спектра



- 4 a** R = H, R<sub>1</sub> = R<sub>2</sub> = H; **4 b** R = 8-CH<sub>3</sub>, R<sub>1</sub> = R<sub>2</sub> = H; **4 c** R = 8-OCH<sub>3</sub>, R<sub>1</sub> = R<sub>2</sub> = H; **4 d** R = 6-OCH<sub>3</sub>, R<sub>1</sub> = R<sub>2</sub> = H;  
**4 e** R = 6-COOEt, R<sub>1</sub> = R<sub>2</sub> = H; **4 f** R = 8-CH<sub>3</sub>, R<sub>1</sub> = H, R<sub>2</sub> = CH<sub>3</sub>; **4 g** R = 8-OMe, R<sub>1</sub> = H, R<sub>2</sub> = CH<sub>3</sub>;  
**4 h** R = H, R<sub>1</sub>, R<sub>2</sub> = піперидино **4 i** R = 8-CH<sub>3</sub>, R<sub>1</sub>, R<sub>2</sub> = піперидино.

Схема 1

позволил сделать предположение, что алкилирование 2-метилхинолин-4-онов амидами хлоруксусной кислоты протекает с образованием О-алкилпроизводных (рис. 1). Так, сигналы протонов карбамидной группы соединения **4e** наблюдаются в виде двух уширенных синглетов при 7,78 и 7,52 м.д. соответственно, в то же время амидная группа соединений **4a-d** проявляется в виде уширенного синглета с интегральной интенсивностью в два протона.

Такое различие в сигналах амидной группы можно объяснить наличием достаточно прочной внутримолекулярной водородной связи [10] и, очевидно, что такая связь может образоваться только в случае О-алкилирования этилового эфира 2-метилхинолин-4-он-6-карбоновой кислоты (рис. 2).

Кроме того, в пользу О-алкилирования 2-метилхинолин-4-онов свидетельствуют данные ЯМР <sup>13</sup>C спектроскопии. Сигнал углеродного атома C-4 2,8-диметил-4-(2-оксо-2-пиперидин-1-илэтокси)

Таблица 1

Характеристики синтезированных соединений 4a-i

| Соединение | Брутто-формула  | Найдено, %     |              |                | Т.пл., °C | Выход, % |
|------------|---|----------------|--------------|----------------|-----------|----------|
|            |   | C              | H            | N              |           |          |
| <b>4a</b>  | C <sub>12</sub> H <sub>12</sub> N <sub>2</sub> O <sub>2</sub> | 66,62<br>66,65 | 5,62<br>5,59 | 12,94<br>12,95 | 192-194   | 52       |
| <b>4b</b>  | C <sub>13</sub> H <sub>14</sub> N <sub>2</sub> O <sub>2</sub> | 67,71<br>67,81 | 6,05<br>6,13 | 12,11<br>12,17 | 164-166   | 55       |
| <b>4c</b>  | C <sub>13</sub> H <sub>14</sub> N <sub>2</sub> O <sub>3</sub> | 63,29<br>63,40 | 5,64<br>5,73 | 11,31<br>11,38 | 248-250   | 51       |
| <b>4d</b>  | C <sub>13</sub> H <sub>14</sub> N <sub>2</sub> O <sub>3</sub> | 63,48<br>63,40 | 5,81<br>5,73 | 11,49<br>11,38 | 225-227   | 46       |
| <b>4e</b>  | C <sub>15</sub> H <sub>16</sub> N <sub>2</sub> O <sub>4</sub> | 62,40<br>62,49 | 5,68<br>5,59 | 9,60<br>9,71   | 242-244   | 61       |
| <b>4f</b>  | C <sub>14</sub> H <sub>16</sub> N <sub>2</sub> O <sub>2</sub> | 68,72<br>68,83 | 6,67<br>6,60 | 11,40<br>11,47 | 176-178   | 56       |
| <b>4g</b>  | C <sub>14</sub> H <sub>16</sub> N <sub>2</sub> O <sub>3</sub> | 64,71<br>64,60 | 6,28<br>6,20 | 10,70<br>10,76 | 206-208   | 53       |
| <b>4h</b>  | C <sub>17</sub> H <sub>20</sub> N <sub>2</sub> O <sub>2</sub> | 71,72<br>71,81 | 7,14<br>7,09 | 9,91<br>9,85   | 79-80     | 36       |
| <b>4i</b>  | C <sub>18</sub> H <sub>22</sub> N <sub>2</sub> O <sub>2</sub> | 72,39<br>72,46 | 7,49<br>7,43 | 9,48<br>9,39   | 118-120   | 48       |

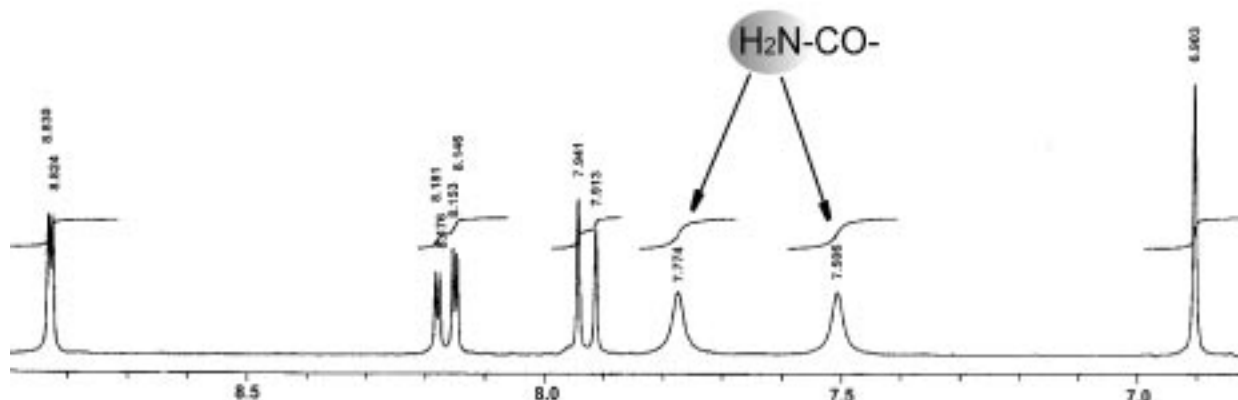


Рис. 1. Фрагмент ЯМР  $^1\text{H}$  спектра этилового эфира 4-(2-амино-2-оксоэтокси)-2-метилхинолин-6-карбоновой кислоты **4e**.

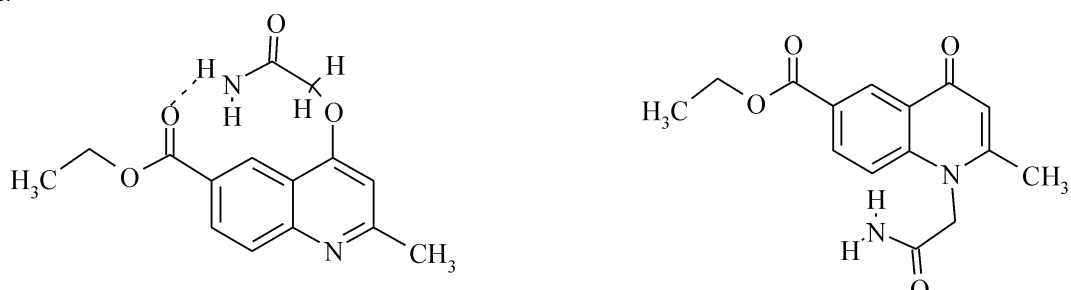


Рис. 2. Вероятность образования водородной связи в молекуле соединения **4e** и его N-изомера.

хинолина **4i** наблюдается в спектре при 166 м.д., хотя для 4-хинолоновой системы сигнал углерода C-4 должен проявляться в более слабых полях [11].

Окончательно вопрос о направлении алкилирования удалось разрешить, проведя рентгено-структурный анализ для 2,8-диметил-4-(2-оксо-2-пиперидин-1-илэтокси)хинолина **4i**. Согласно дан-

ным рентгеноструктурного анализа алкилирование 2-метилхинолин-4-онов амидами хлоруксусной кислоты в системах ДМСО/ $\text{K}_2\text{CO}_3$  и ДМФА/ $\text{NaOH}$  протекает с образованием O-алкилпроизводных.

Общий вид молекулы 2,8-диметил-4-(2-оксо-2-пиперидин-1-илэтокси)хинолина **4i** и ее основные геометрические параметры приведены на рис. 3.

## Таблица 2

Спектры ЯМР  $^1\text{H}$  2-[2-метилхинолин-4-ил]окси]ацетамидов **4a-i**

| Соединение | Химические сдвиги, $\delta$ , м.д. (J, Гц)                             |   |                       |  |
|------------|--|---|-----------------------|--|
|            | NH амида   | H аром  | $\text{CH}_2$ (2H, c) | Другие протоны   |
| <b>4a</b>  | 8,12 (1H, д, J = 8,2); 7,92...7,62 (4H, м); 7,50 (1H, т); 6,88 (1H, с) |   | 5,18                  | 2,58 (3H, с)   |
| <b>4b</b>  | 8,12 (1H, д, J = 8,2); 7,55...7,31 (4H, м); 6,82 (1H, с)               |   | 4,69                  | 2,65 (3H, с); 2,60 (3H, с)                                 |
| <b>4c</b>  | 7,52 (2H, с, ушир.)  | 7,80 (1H, д, J = 8,2); 7,37 (1H, т, J = 7,6); 7,13 (1H, д, J = 7,6); 6,83 (1H, с)                                       | 4,68                  | 3,92 (3H, с); 2,56 (3H, с)                                 |
| <b>4d</b>  | 7,58 (2H, с, ушир.)  | 7,76 (1H, д, J = 9,2); 7,52 (1H, д, J = 2,7); 7,32 (1H, д, д, J <sub>1</sub> = 9,2, J <sub>2</sub> = 2,7); 6,78 (1H, с) | 4,70                  | 3,89 (3H, с); 2,54 (3H, с)                                 |
| <b>4e</b>  | 7,78 (1H, с); 7,51 (1H, с)   | 8,83 (1H, д, J = 2,0); 8,16 (1H, д, д, J <sub>1</sub> = 8,8, J <sub>2</sub> = 2,0); 7,93 (1H, д, J = 8,8); 6,90 (1H, с) | 4,83                  | 4,40 (2H, к, J = 7,1); 2,62 (3H, с); 1,37 (3H, т, J = 7,1) |
| <b>4f</b>  | 8,00 (1H, с, ушир.)  | 8,15 (1H, д, J = 8,5); 7,54 (1H, д, J = 7,0); 7,36 (1H, т, J = 7,0); 6,85 (1H, с)                                       | 4,71                  | 2,71 (1H, д, J = 4,6); 2,65 (3H, с); 2,60 (3H, с)          |
| <b>4g</b>  | 8,00 (1H, с, ушир.)  | 7,83 (1H, д, J = 8,2); 7,38 (1H, т, J = 8,1); 7,13 (1H, д, J = 7,6); 6,86 (1H, с)                                       | 4,70                  | 3,92 (3H, с); 2,71 (1H, д, J = 4,6); 2,56 (3H, с)          |
| <b>4h</b>  |  | 8,34...8,28 (2H, м); 8,06 (1H, т, д, J = 7,9, J <sub>2</sub> = 1,4); 7,82 (1H, т, J = 7,9); 7,41 (1H, с)                | 5,44                  | 3,50...3,32 (4H, м); 1,67...1,60 (6H, м)                   |
| <b>4i</b>  |  | 7,96 (1H, д, J = 8,2); 7,52 (1H, д, J = 6,7); 7,34 (1H, т, J = 7,6); 6,85 (1H, с)                                       | 5,04                  | 3,47...3,42 (4H, м); 1,63...1,50 (6H, м)                   |

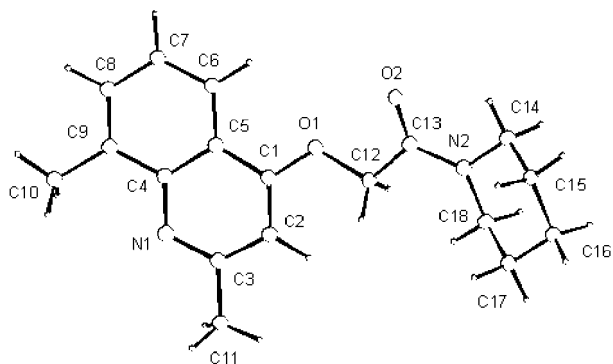


Рис. 3. Общий вид молекулы 2,8-диметил-4-(2-оксо-2-пиперидин-1-илэтокси)хинолина **4i**. Основные длины связей ( $\text{\AA}$ ) и валентные углы (град.): O<sub>(1)</sub>-C<sub>(1)</sub> 1.366(2), O<sub>(1)</sub>-C<sub>(12)</sub> 1.424(2), O<sub>(2)</sub>-C<sub>(13)</sub> 1.219(2), N<sub>(1)</sub>-C<sub>(3)</sub> 1.323(3), N<sub>(1)</sub>-C<sub>(4)</sub> 1.372(3), N<sub>(2)</sub>-C<sub>(13)</sub> 1.348(3), N<sub>(2)</sub>-C<sub>(14)</sub> 1.454(3), N<sub>(2)</sub>-C<sub>(18)</sub> 1.450(3); C<sub>(1)</sub>O<sub>(1)</sub>C<sub>(12)</sub> 116.1(2), C<sub>(3)</sub>N<sub>(1)</sub>C<sub>(4)</sub> 117.6(2), C<sub>(13)</sub>N<sub>(2)</sub>C<sub>(14)</sub> 120.6(2), C<sub>(13)</sub>N<sub>(2)</sub>C<sub>(18)</sub> 125.9(2), C<sub>(14)</sub>N<sub>(2)</sub>C<sub>(18)</sub> 113.4(2).

Центральная бициклическая система N<sub>(1)</sub>C<sub>(1-9)</sub> практически планарна: отклонения атомов от среднеквадратичной плоскости не превышают 0,055  $\text{\AA}$ ; двугранный угол между 6-членными циклами N<sub>(1)</sub>C<sub>(1-5)</sub> и C<sub>(4-9)</sub> составляет лишь 2,7°. Распределение длин связей в данной бициклической системе указывает на весьма существенную делокализацию электронной плотности. Пиперидиновый цикл N<sub>(2)</sub>C<sub>(14-18)</sub> имеет конформацию *кресла*: группировка C<sub>(14)</sub>C<sub>(15)</sub>C<sub>(17)</sub>C<sub>(18)</sub> плоская в пределах 0,002  $\text{\AA}$ , “уголки” N<sub>(2)</sub>C<sub>(14)</sub>C<sub>(18)</sub> и C<sub>(15-17)</sub> образуют с данной плоскостью двугранные углы 51,3 и 46,7°. Атом N<sub>(1)</sub> имеет плоскотригональную конфигурацию связей — сумма валентных углов при этом атоме составляет 359,8(6)°. Конформация молекулы **4i** весьма благоприятна для сопряжения неподеленной электронной пары атома N<sub>(2)</sub> с  $\pi$ -системой двойной связи C<sub>(13)</sub>=O<sub>(2)</sub> (торсионный угол O<sub>(2)</sub>-C<sub>(13)</sub>-N<sub>(2)</sub>-C<sub>(14)</sub> составляет лишь -0,9°, то есть данные системы параллельны). Действительно, связь N<sub>(2)</sub>-C<sub>(13)</sub> 1,348(3)  $\text{\AA}$  существенно укорочена по сравнению с интервалом 1,43–1,45  $\text{\AA}$ , характерным для чисто одинарной связи N(sp<sup>2</sup>)-C(sp<sup>2</sup>) [12, 13].

### Экспериментальная часть

Рентгеноструктурное исследование монокристалла соединения **4i** с линейными размерами 0,12 × 0,43 × 0,49 мм проведено при комнатной температуре на автоматическом четырехкружковом дифрактометре Enraf-Nonius CAD-4 (CuK $\alpha$  — излучение,  $\lambda = 1,54178 \text{ \AA}$ , отношение скоростей сканирования 20/ $\omega$  1,2,  $\theta_{\max} = 65^\circ$ , сегмент сферы  $0 \leq h \leq 12$ ,  $0 \leq k \leq 20$ ,  $-11 \leq l \leq 11$ ). Всего было

собрано 3040 отражений (2772 симметрически независимых, фактор усреднения R<sub>int</sub> = 0,019). Кристаллы соединения **4i** моноклинные,  $a = 10,995(3)$ ,  $b = 17,105(5)$ ,  $c = 9,263(3) \text{ \AA}$ ,  $\beta = 110,42(2)^\circ$ , V = 1632,5  $\text{ \AA}^3$ , M = 300,4, Z = 4, d<sub>выч</sub> = 1,22 г/см<sup>3</sup>,  $\mu = 6,4 \text{ cm}^{-1}$ , F(000) = 640, пространственная группа P2<sub>1</sub>/c (N 14). Структура расшифрована прямым методом и уточнена методом наименьших квадратов в полноматричном анизотропном приближении с использованием комплекса программ CRYSTALS [14]. В уточнении использовано 2138 отражений с  $I > 3\sigma(I)$  (199 уточняемых параметров, число отражений на параметр — 10,7). Около 660% атомов водорода было выявлено из разностного синтеза электронной плотности, положения остальных были рассчитаны геометрически. Все атомы H были включены в уточнение с фиксированными позиционными и тепловыми параметрами. При уточнении была использована весовая схема Чебышева [15] с четырьмя параметрами: 1,11, -0,43, 0,32 и -0,55. Окончательные значения факторов расходимости: R = 0,061 и R<sub>w</sub> = 0,063, GOF = 1,082. Остаточная электронная плотность из разностного ряда Фурье составляет 0,25 и -0,31 e/ $\text{ \AA}^3$ . Учет поглощения в кристалле был выполнен с помощью метода азимутального сканирования [16]. Полный набор рентгеноструктурных данных для соединения **4i** задепонирован в Кэмбриджском банке структурных данных (CCDC 611478).

Спектры ПМР синтезированных соединений записаны на приборе Varian Mercury VX-200, рабочая частота — 200 МГц, растворитель ДМСО-D<sub>6</sub>, внутренний стандарт ТМС.

### Общая методика получения 2-[2-метилхинолин-4-ил]окси]ацетамидов **4a-i**.

0,01 Моль 2-метилхинолин-4-она **1a-e**, 0,01 Моль амида хлоруксусной кислоты **2a-c** и 0,015 Моль тонко растертого поташа нагревают в 20 мл ДМСО при 70–80°C в течение 5–6 ч на магнитной мешалке при перемешивании. Разбавляют реакционную среду 150 мл воды, образовавшийся осадок отфильтровывают и перекристаллизовывают из подходящего растворителя. При использовании системы ДМФА/NaOH алкилирование проводили в сходных условиях.

### Выходы

1. Изучена реакция алкилирования 2-метилхинолин-4-онов амидами хлоруксусной кислоты в системах ДМСО/K<sub>2</sub>CO<sub>3</sub> и ДМФА/NaOH.

2. С помощью спектроскопии ЯМР и рентгеноструктурного анализа установлено, что в данной реакции образуются 4-O-алкилпроизводные хинолинов.

### Литература

- Manske R.H.F., Rodrigo R.G.A. *The Alkaloids* (Vol. XVII). — Academic Press. — New York, 1979. — P. 177.
- Michael J.P. // *Nat. Prod. Rep.* — 2005. — Vol. 22, №5. — P. 627-646.

3. Michael J.P. // *Nat. Prod. Rep.* — 2000. — Vol. 17, №6. — P. 603-620.
4. Ko T.C., Hour M.J., Lien J.C. et al. // *Bioorg. Med. Chem. Lett.* — 2001. — Vol. 11, №3. — P. 279-282.
5. Kuo S.C., Lee H.Z., Juang J.P. et al. // *J. Med. Chem.* — 1993. — Vol. 36, №9. — P. 1146-1156.
6. Somanathan R., Smith K.M. // *J. Heterocyclic Chem.* — 1981. — Vol. 18. — P. 1077-1079.
7. Shim S.C., Chae S.A., Lee D.Y. et al. // *J. Kor. Chem. Soc.* — 1994. — Vol. 38, №10. — P. 774-775.
8. Hadjeri M., Mariotte A.M., Boumendjel A. // *Chem. Pharmac. Bull.* — 2001. — Vol. 49, №10. — P. 1352-1355.
9. Hodgkinson A. // *J. Org. Chem.* — 1969. — №34. — P. 1709.
10. Зубков В.О. Синтез, будова, реакційна здатність та біологічна активність похідних 2-іміно-2Н-1-бензопірану: Актореф. дис. ... канд. хім. наук. — Х., 1994. — 24 с.
11. Х. Гюнтер. Введение в курс спектроскопии ЯМР / Пер. с англ. — М.: Мир, 1984. — 478 с.
12. Burke-Laing M., Laing M. // *Acta Crystallogr. (B)*. — 1976. — Vol. 32, №12. — P. 3216-3224.
13. Allen F.H., Kennard O., Watson D.G. et al. // *J. Chem. Soc. Perkin Trans. 2*. — 1987. — №12. — P. S1-19.
14. Watkin D.J., Prout C.K., Carruthers J.R., Betteridge P.W. *CRYSTALS. Chemical Crystallography Laboratory: Univ. of Oxford*, 1996. — №10.
15. Carruthers J.R., Watkin D.J. // *Acta Cryst. (A)*. — 1979. — Vol. 35, №3. — P. 698-699.
16. North A.C.T., Phillips D.C., Mathews F.S. // *Acta Crystallogr. (A)*. — 1968. — Vol. 24, №2. — P. 351-359.

Надійшла до редакції 16.07.2008 р.